

# Машинное обучение и моделирование экспериментальных данных

д.ф.-м.н. К. В. Воронцов ([voron@forecsys.ru](mailto:voron@forecsys.ru))  
к.ф.-м.н. В. В. Стрижов (<http://www.strijov.com>)

отдел «Интеллектуальные системы» ВЦ РАН  
каф. «Интеллектуальные системы» ФУПМ МФТИ  
каф. «Математические методы прогнозирования» ВМК МГУ  
ЗАО «Форексис»

18 февраля 2012

## Содержание

- 1 Задачи машинного обучения**
  - Основные понятия машинного обучения
  - Примеры прикладных задач
  - Особенности прикладных задач
- 2 Методология машинного обучения**
  - Оптимизация и регуляризация
  - Композиции моделей
  - Оптимизация структуры модели
- 3 Примеры решённых прикладных задач**
  - Оптимизация структуры моделей
  - Прогнозирование временных рядов
  - Неотрицательные матричные разложения

## Задача обучения по прецедентам (восстановления зависимости по эмпирическим данным)

$\mathbb{X}$  — множество объектов;  $\mathbb{Y}$  — множество ответов;

$\exists y: \mathbb{X} \rightarrow \mathbb{Y}$  — неизвестная зависимость.

**Дано:**  $D = (x_n, y_n)_{n=1}^N$  — обучающая выборка,  $y_n = y(x_n)$

$$\begin{pmatrix} f_1(x_1) & \dots & f_P(x_1) \\ \dots & \dots & \dots \\ f_1(x_N) & \dots & f_P(x_N) \end{pmatrix} \rightarrow \begin{pmatrix} y_1 \\ \dots \\ y_N \end{pmatrix}$$

*Модель зависимости* — семейство функций  $\mathcal{F} = \{f: \mathbb{X} \rightarrow \mathbb{Y}\}$

**Найти:** функцию  $f \in \mathcal{F}$ , приближающую  $y(x)$  на всём  $\mathbb{X}$   
и сделать прогнозы для контрольной выборки  $D' = (x_n)_{n=1}^K$ :

$$\begin{pmatrix} f_1(x'_1) & \dots & f_P(x'_1) \\ \dots & \dots & \dots \\ f_1(x'_K) & \dots & f_P(x'_K) \end{pmatrix} \rightarrow \begin{pmatrix} ?_1 \\ \dots \\ ?_K \end{pmatrix}$$

## Примеры прикладных задач обучения по прецедентам

- Распознавание, классификация, принятие решений ( $|\mathbb{Y}| < \infty$ ):
  - $x$  — пациент;  $y$  — диагноз, рекомендуемая терапия;
  - $x$  — заёмщик;  $y$  — вероятность дефолта;
  - $x$  — абонент;  $y$  — вероятность ухода к другому оператору;
  - $x$  — текстовое сообщение;  $y$  — спам / не спам;
  - $x$  — документ;  $y$  — категория в рубрикаторе;
  - $x$  — фрагмент белка;  $y$  — тип вторичной структуры;
  - $x$  — фрагмент ДНК;  $y$  — функция: промотор / ген;
  - $x$  — фотопортрет;  $y$  — идентификатор личности;
- Регрессия и прогнозирование ( $\mathbb{Y} = \mathbb{R}$  или  $\mathbb{R}^m$ ):
  - $x$  — история продаж;  $y$  — прогноз объёма продаж;
  - $x$  — пара  $\langle$ клиент, товар $\rangle$ ;  $y$  — рейтинг товара;
  - $x$  — параметры технолог. процесса;  $y$  — свойство продукции;
  - $x$  — структура хим. соединения;  $y$  — его свойство;
  - $x$  — характеристики недвижимости;  $y$  — цена;

## Особенности реальных задач обучения по прецедентам

- Особенности исходных данных:
  - неполнота данных (пропуски);
  - неточность данных (погрешности, выбросы);
  - разнородность (сложные «сырые» данные);
  - несбалансированность классов;
  - малые выборки;
  - сверхбольшие выборки;
  - потоковые данные;
  - нестандартные критерии качества;
  - наличие дополнительной непрецедентной информации.
- Требования к методам восстановления зависимостей:
  - обобщающая способность;
  - вычислительная эффективность;
  - простота и интерпретируемость модели;
  - визуализация и контроль промежуточных данных;
  - динамическое дообучение по потоковым данным;

## Важные классы методов (типизация условная и неполная)

- Методы на основе функций сходства объектов
  - kNN — метод ближайших соседей
  - RBF — метод потенциальных функций
- Минимизация и регуляризация эмпирического риска
  - SVM — метод опорных векторов;
  - RLR — логистическая регрессия с регуляризацией;
- Логические методы, индукция правил
  - CART, C5.0, ADT, ODT — решающие деревья;
  - KOPA, ТЕМП, ТЕСТ — комбинаторно-логические алгоритмы;
- Композиции
  - ANN — искусственные нейронные сети;
  - Boosting, MatrixNet — взвешенное голосование;
  - MVR Composer — индуктивное порождение моделей;
- Отбор признаков и понижение размерности
  - МГУА — метод группового учёта аргументов;
  - PCL — метод главных компонент;
  - NMF — неотрицательные матричные разложения;

## Задача построения разделяющей поверхности

- Задача классификации с двумя классами,  $\mathbb{Y} = \{-1, +1\}$ :  
 $f(w, x) = \text{sign } g(w, x)$ , где  
 $g(w, x)$  — дискриминантная функция,  
 $w$  — вектор параметров.
- $g(w, x) = 0$  — разделяющая поверхность;  
 $M_n(w) = y_n g(w, x_n)$  — отступ (margin) объекта  $x_n$ ;  
 $M_n(w) < 0 \iff$  классификатор  $f(w, x)$  ошибается на  $x_n$ .  
Принцип оптимальности: **чем больше отступ, тем лучше.**

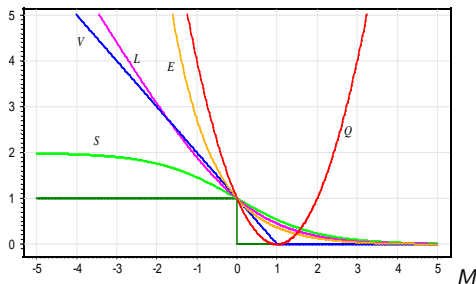
- Минимизация *сглаженного эмпирического риска*:

$$Q(w) = \sum_{n=1}^N [M_n(w) < 0] \leq \tilde{Q}(w) = \sum_{n=1}^N \mathcal{L}(M_n(w)) \rightarrow \min_w;$$

функция потерь  $\mathcal{L}(M)$  невозрастающая, неотрицательная.

## Непрерывные аппроксимации пороговой функции потерь

Часто используемые функции потерь  $\mathcal{L}(M)$ :



- $Q(M) = (1 - M)^2$  — квадратичная (ЛДФ);  
 $V(M) = (1 - M)_+$  — кусочно-линейная (SVM);  
 $S(M) = 2(1 + e^M)^{-1}$  — сигмоидная (нейронные сети);  
 $L(M) = \log_2(1 + e^{-M})$  — логарифмическая (LR);  
 $E(M) = e^{-M}$  — экспоненциальная (AdaBoost).

## Метод опорных векторов (Support Vector Machine, SVM)

Модель — линейный классификатор:

$$f(x) = \text{sign}(\langle w, x \rangle - w_0), \quad w, x \in \mathbb{R}^P, \quad w_0 \in \mathbb{R}.$$

Задача максимизации зазора между классами приводит к *регуляризации* сглаженного эмпирического риска:

$$Q(w, w_0) = \sum_{n=1}^N (1 - M_n(w, w_0))_+ + \frac{1}{2C} \|w\|^2 \rightarrow \min_{w, w_0}.$$

Свойства решения этой задачи:

- Максимизация зазора + регуляризация вместе повышают обобщающую способность
- *разреженность*:  $w$  зависит только от *опорных объектов*  $x_n$ ;
- $f(x)$  зависит только от  $\langle x, x_n \rangle \Rightarrow$  замена  $\langle x, x_n \rangle$  на любое неотрицательно определённое *ядро*  $K(x, x_n)$  приводит к нелинейному обобщению SVM.

## Обобщение: байесовская регуляризация

$p(x, y|w)$  — вероятностная модель данных;

$p(w; \gamma)$  — априорное распределение параметров модели;

$\gamma$  — вектор гиперпараметров;

Теперь не только появление выборки  $D$ ,  
но и появление модели  $w$  также полагается случайным.

Совместное правдоподобие данных и модели:

$$p(D, w) = p(D|w) p(w; \gamma).$$

*Принцип максимума совместного правдоподобия:*

$$L(w, D) = \ln p(D, w) = \sum_{n=1}^N \ln p(x_n, y_n|w) + \underbrace{\ln p(w; \gamma)}_{\text{регуляризатор}} \rightarrow \max_{w, \gamma}.$$

## Композиции алгоритмов классификации

$b_t: \mathbb{X} \rightarrow R$  — базовые классификаторы;

$F: R^T \rightarrow \mathbb{Y}$  — корректирующая операция;

$a(x) = F(b_1(x), \dots, b_T(x))$  — композиция.

**Пример:** *взвешенное голосование* (для случая  $\mathbb{Y} = \{-1, +1\}$ ):

$$a(x) = \text{sign} \sum_{t=1}^T \alpha_t b_t(x);$$

**Методы построения композиций** (некоторые вехи):

- Метод комитетов [В.Д.Мазуров, 1971]
- Алгоритмы вычисления оценок [Ю.И.Журавлёв, 1971]
- Алгебраический подход [Ю.И.Журавлёв, 1977]
- Boosting [Y.Freund, R.Shapire, 1995]
- Bagging, Arcing [L.Breiman, 1995]
- MatrixNet [Яндекс, 2009]

## Композиции логических закономерностей

Взвешенное голосование (для случая  $\mathbb{Y} = \{-1, +1\}$ ):

$$a(x) = \text{sign} \sum_{t=1}^T \alpha_t b_t(x).$$

Бустинг основан на двух эвристиках:

- сглаженная функция потерь ( $\mathcal{L}(M) = e^{-M}$  — AdaBoost);
- последовательное «жадное» построение  $\alpha_t b_t$  при фиксации всех предыдущих  $\alpha_1 b_1, \dots, \alpha_{t-1} b_{t-1}$ .

Закономерность класса  $y \in \mathbb{Y}$  — это предикат  $b_t: \mathbb{X} \rightarrow \{0, y\}$

$$b_t(x) = \bigwedge_{j \in \omega} [\alpha_j \leq f_j(x) \leq \beta_j] \quad \text{— пороговые конъюнкции}$$

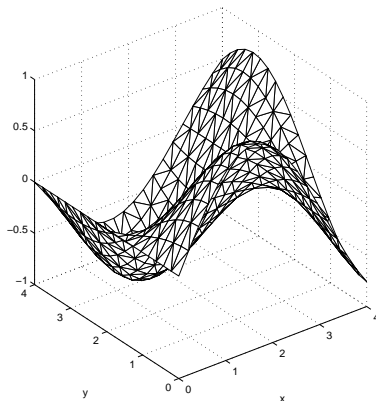
$$b_t(x) = \left[ \sum_{j \in \omega} [\alpha_j \leq f_j(x) \leq \beta_j] \geq w_0 \right] \quad \text{— синдромные правила}$$

## MVR Composer: Процедура порождения моделей



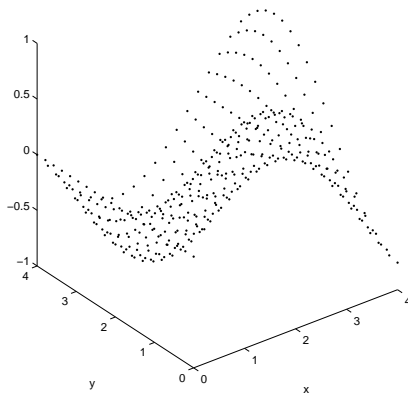
## Пример порождения моделей

Задумаем модель, например, такую:  
$$y = f(\mathbf{w}, \mathbf{x}) = \sin(x_1) * \sin(w_1 x_2 + w_2).$$



## Исходные данные

Выборка состоит из 380 элементов.



## Заданы порождающие функции

Функция	Описание	Параметры
$g(\mathbf{b}, x_1, x_2)$		
plus	$y = x_1 + x_2$	–
times	$y = x_1 x_2$	–
$g(\mathbf{b}, x_1)$		
divide	$y = 1/x$	–
multiply	$y = ax$	$a$
add	$y = x + a$	$a$
normal	$y = \frac{\lambda}{\sqrt{2\pi\sigma}} \exp\left(-\frac{(x-\xi)^2}{2\sigma^2}\right) + a$	$\lambda, \sigma, \xi, a$
linear	$y = ax + b$	$a, b$
parabolic	$y = ax^2 + bx + c$	$a, b, c$
sin	$y = \sin(x)$	–
logsig	$y = \frac{\lambda}{1+\exp(-\sigma(x-\xi))} + a$	$\lambda, \sigma, \xi, a$

Рассмотрим набор  $\mathcal{F} = \{f_i\}$  моделей — допустимых суперпозиций порождающих функций  $G = \{g\}$ .

## Экспертная информация

Эксперты задают набор начальных моделей, например,

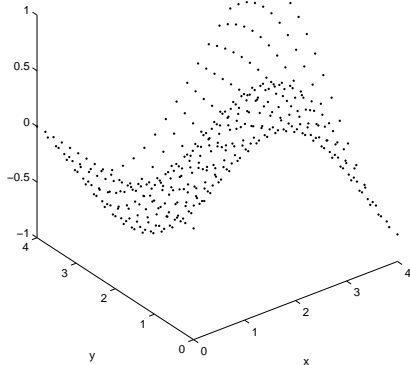
$$\begin{aligned} f_1 &: y = \text{linear}(x_1), \\ f_2 &: y = \text{normal}(x_2) \end{aligned}$$

и условия порождения моделей:

- 1 сложность моделей
  - { число элементов суперпозиции  $g$  не более 8,
  - { число параметров  $w$  не более 10;
- 2 целевая функция — сумма квадратов регрессионных остатков.

## Модели-претенденты

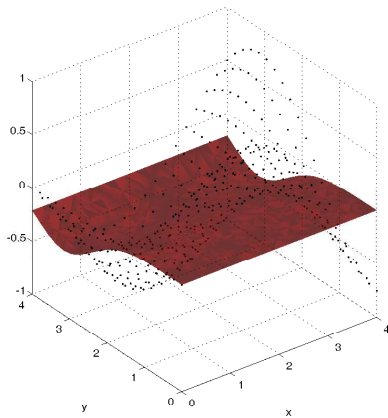
Задана выборка



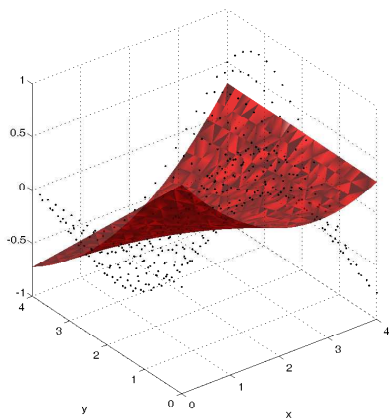
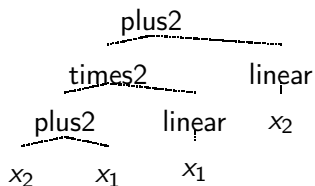
## Модели-претенденты

 $\text{normal}(w_{1:3}, x_2)$ 

normal  
 $x_2$

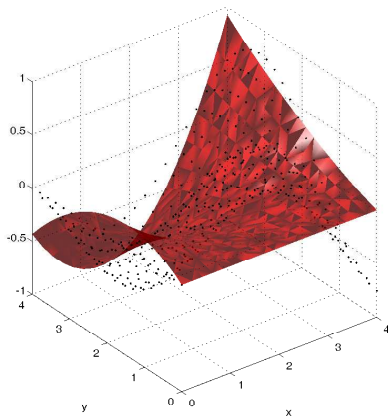
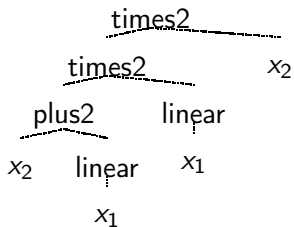


# Модели-претенденты

$$\text{plus2}(\emptyset, \text{times2}(\emptyset, \text{plus2}(\emptyset, x_2, x_1), \text{linear}(w_{1:2}, x_1)), \text{linear}(w_{3:4}, x_2))$$


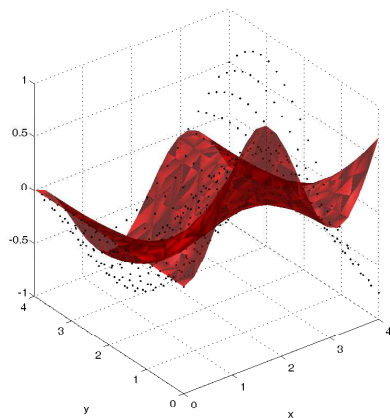
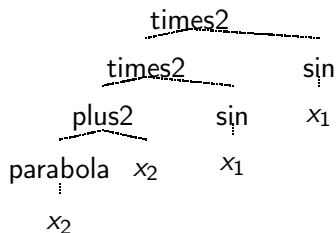
## Модели-претенденты

$\text{times2}(\emptyset, \text{times2}(\emptyset, \text{plus2}(\emptyset, x_2, \text{linear}(w_{1:2}, x_1)), \text{linear}(w_{3:4}, x_1)), x_2)$

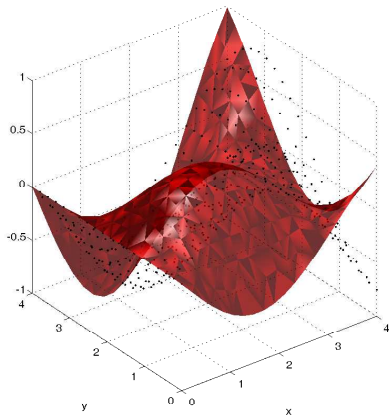
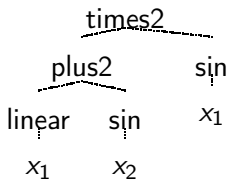


## Модели-претенденты

$\text{times2}(\emptyset, \text{times2}(\emptyset, \text{plus2}(\emptyset, \text{parabola}(w_{1:3}, x_2), x_2), \sin(\emptyset, x_1)), \sin(\emptyset, x_1))$

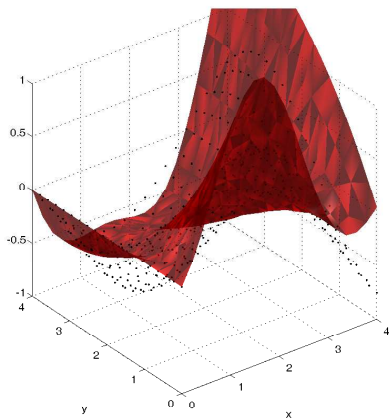
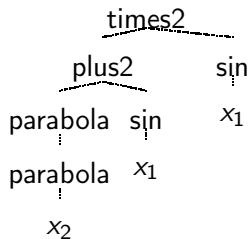


# Модели-претенденты

$$\text{times2}(\emptyset, \text{plus2}(\emptyset, \text{linear}(w_{1:2}, x_1), \sin(\emptyset, x_2)), \sin(\emptyset, x_1))$$


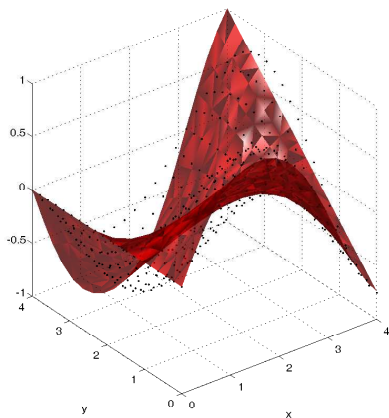
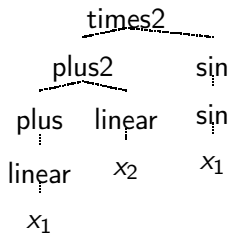
## Модели-претенденты

$\text{times2}(\emptyset, \text{plus2}(\emptyset, \text{parabola}(w_{1:3}, \text{parabola}(w_{4:6}, x_2)), \sin(\emptyset, x_1)), \sin(\emptyset, x_1))$



## Модели-претенденты

$\text{times2}(\emptyset, \text{plus2}(\emptyset, \text{plus}(w_1, \text{linear}(w_{2:3}, x_1)), \text{linear}(w_{4:5}, x_2)), \text{sin}(\emptyset, \text{sin}(\emptyset, x_1)))$



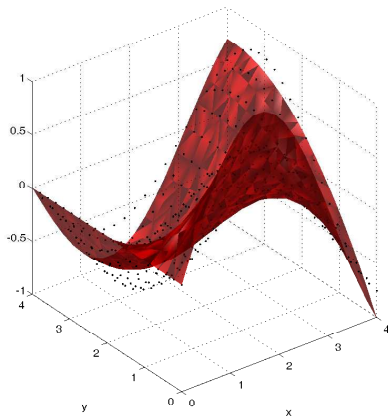
# Модели-претенденты

$$\text{times2}(\emptyset, \text{parabola}(w_{1:3}, \text{linear}(w_{4:5}, x_2)), \text{linear}(w_{6:7}, \sin(\emptyset, x_1)))$$

```

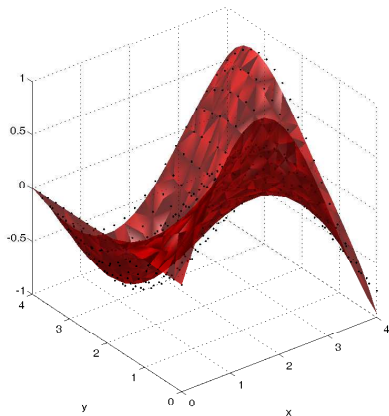
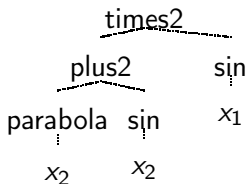
times2
├── parabola
│   ├── linear
│   │   ├── linear
│   │   │   ├── x2
│   │   └── sin
│   │       ├── x1

```



## Модели-претенденты

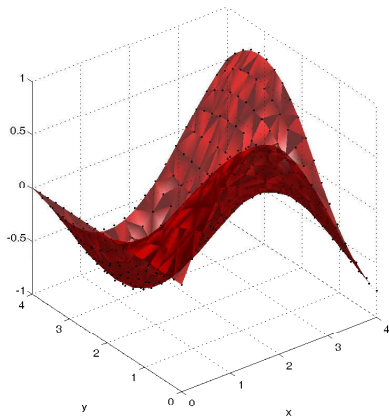
$\text{times2}(\emptyset, \text{plus2}(\emptyset, \text{parabola}(w_{1:3}, x_2), \sin(\emptyset, x_2)), \sin(\emptyset, x_1))$



## Модели-претенденты

$\text{times2}(\emptyset, \sin(\emptyset, \text{linear}(w_{1:2}, x_2)), \sin(\emptyset, x_1))$

$\text{times2}$   
┌───┐  
sin    sin  
├───┤  
linear     $x_1$   
├───┤  
 $x_2$



## Дано

Выборка:

$\{\mathbf{x}_1, \dots, \mathbf{x}_N | \mathbf{x} \in \mathbb{R}^P\}$  — независимые переменные,

$\{y_1, \dots, y_N | y \in \mathbb{R}\}$  — соответствующие независимые переменные.

Обозначим выборку  $D = \{(\mathbf{x}_n, y_n)\}$ .

Порождающие функции:

$G = \{g | g : \mathbb{R} \times \dots \times \mathbb{R} \rightarrow \mathbb{R}\}$  параметрические функции,

$g = g(\mathbf{b}, \cdot, \cdot, \dots, \cdot)$ ;

$G \ni g$  определяет набор допустимых суперпозиций  $\mathcal{F} = \{f_i\}$  индуктивно;

$f_i = f_i(\mathbf{w}, \mathbf{x})$ ,

где  $\mathbf{w} = \mathbf{b}_1 : \mathbf{b}_2 : \dots : \mathbf{b}_r$ .

## Требуется

Требуется найти модель  $f_i \in \mathcal{F}$ ,

$$y_n = f_i(\mathbf{w}, \mathbf{x}_n) + \varepsilon,$$

которая доставляет максимум целевой функции  $p(\mathbf{w}|D, \alpha, \beta, f_i)$ ,

$f_i \in \mathcal{F}$  — набор моделей-претендентов,

$\mathbf{w}$  — параметры модели,

$D$  — выборка,

$\alpha, \beta$  — гиперпараметры или регуляризующие параметры.

## Порождение моделей — 1

Базовый алгоритм порождения моделей состоит из трех шагов.

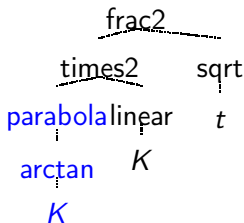
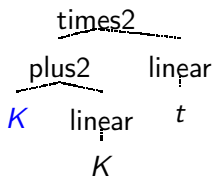
1. Оценить параметры и гиперпараметры каждой модели из порожденного множества  $\mathcal{F} = \{f_1, \dots, f_M\}$ :

$$\mathbf{w}_i^{\text{MP}} = \arg \min_{\mathbf{w}} S(\mathbf{w} | D, A, \beta, f_i).$$

## Порождение моделей — 2

### 2. Поменять местами элементы пары моделей:

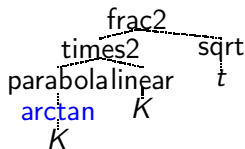
- 1 поменять местами элементы  $g_{ik}$  and  $g_{jl}$  с индексами  $i, j \in \{1, \dots, M\}$  моделей  $f_i$  и  $f_j$ ,
- 2 создать новые модели  $f'_i$  и  $f'_j$ .



## Порождение моделей — 3

### 3. Модификация элементов моделей: изменить элементы $\{f_i'\}$ :

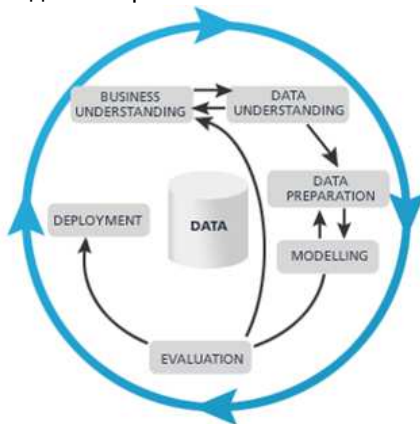
- 1 выбрать элемент  $g_{ik}$  модели  $f_i$ ,
- 2 выбрать из множества  $G$  элемент  $g_s$  (с учетом допустимости замены  $g_{ik}$ ),
- 3 заменить элемент  $g_{ik}$  на порождающую функцию  $g_s$ .



## Межотраслевой стандарт CRISP-DM

Методология ведения проектов Data Mining, предложенная компаниями ISL (SPSS), NCR Corporation, Daimler-Benz, OHRA.

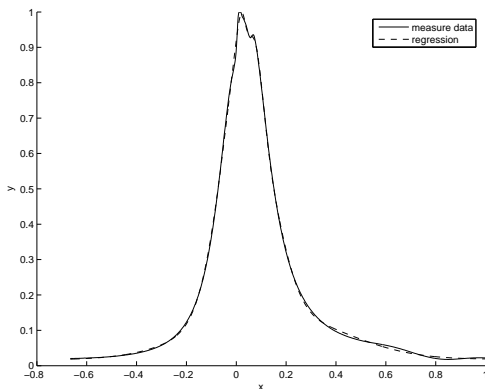
Процесс анализа данных разбивается на 6 основных этапов:



## MVR Composer: Примеры приложений

- **Моделирование процессов горения в двигателе внутреннего сгорания**
  - **Задача:** спрогнозировать концентрацию кислорода в выхлопных газах
  - **Цель:** исключить датчик кислорода из конструкции двигателя
  - **Результат:** точность прогноза значений датчика 0.96%
- **Прогнозирование волатильности опционов**
  - **Задача:** построить модель зависимости волатильности опциона от его цены и времени до исполнения
  - **Цель:** уточнить справедливую цену опциона
  - **Результат:** предложена более точная модель волатильности
- **Прогнозирование цен и объёмов электроэнергии**
  - **Задача:** автоматическое формирование прогнозов
  - **Цель:** продажа электроэнергии на свободном рынке
  - **Результат:** точность прогнозов 5% с надёжностью 90%

## Пример: моделирование процессов горения



Давления в камере внутреннего сгорания дизельного двигателя:

$x$  — угол вращения коленчатого вала (нормирован),

$y$  — давление (нормировано),

выборка содержит 4000 элементов.

## Полученные модели

Model 1	Model 2	Model 3

Legend:  $h$  — gaussian  $y = \lambda(2\pi\sigma^{-2})\exp(-(x - \xi)^2(2\sigma^{-2}) + a)$ ,  
 $c$  — cubic  $y = ax^3 + bx^2 + cx + d$ ,  $l$  — linear  $y = ax + b$ .

$$f_2 = g_1(g_2(g_3(g_4(g_5(x), g_6(x))), g_7(x)), x), g_8(x)).$$

Полная форма записи модели 2:

$$y = (ax + b)^{-1} \left( x + \sum_{i=1}^3 \frac{\lambda_i}{\sqrt{2\pi\sigma_i}} \exp \left( -\frac{(x - \xi_i)^2}{2\sigma_i^2} \right) + a_i \right).$$

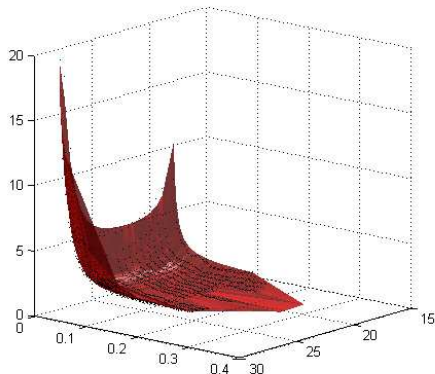
## Пример: моделирование волатильности европейских опционов

Европейский опцион на сырую нефть марки Brent.  
 Подразумеваемая волатильность  $\sigma$  зависит от времени до  
 исполнения опциона  $t$  и от цены

исполнения  $K$ : 
$$\sigma = \frac{(w_1 K + w_2)(w_1 K^2 + w_2 K + w_3)^2}{\sqrt{t}}$$

Diagram illustrating the components of the volatility formula:

- $\frac{\text{times2}}{\text{sqrt}}$  (fraction)
- $\text{square}$  (parabola  $x$ )
- $\text{lin}$  (line  $K$ )
- $t$  (time)



## Почасовое прогнозирование объемов и цен электроэнергии

Данные:

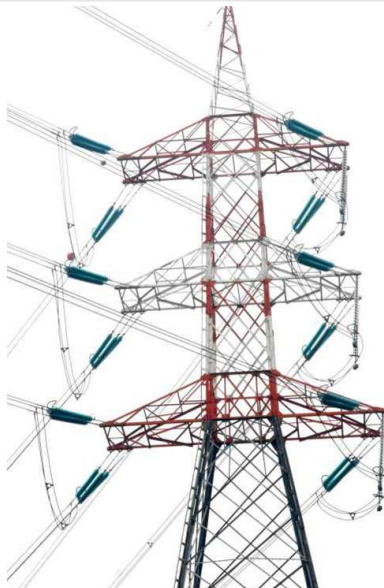
- исторические объемы потребления и цены на электроэнергию, набор временных рядов.

Требуется спрогнозировать:

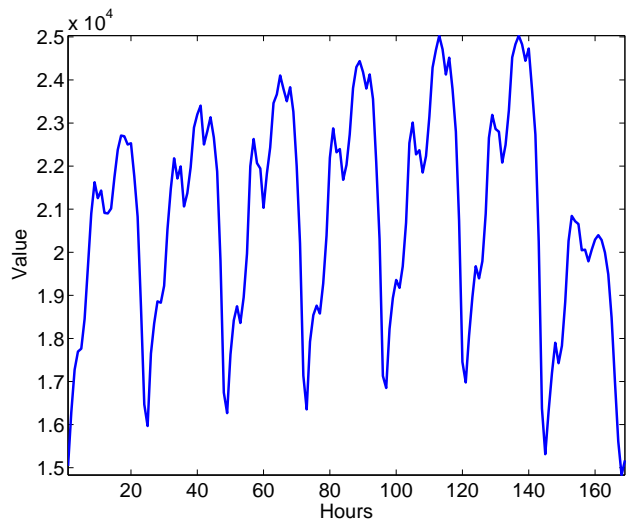
- следующий день на каждый час
  - ✓ объем потребления
  - ✓ цену.

Решение:

- порождение и выбор авторегрессионных моделей.



## Исходный временной ряд, одна неделя



## Периодические компоненты набора временных рядов

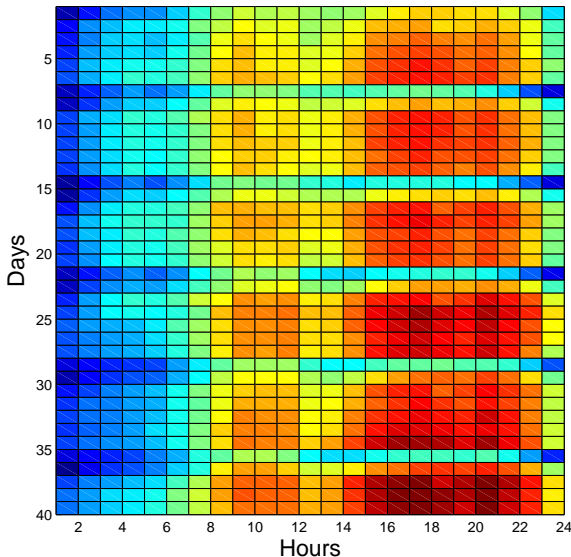
### Временные ряды:

- цена на электроэнергию,
- потребление,
- длина светового дня,
- температура,
- влажность,
- скорость ветра,
- расписание праздников.

### Периоды:

- годовая сезонность (температура, длина светового дня),
- еженедельная,
- ежедневная (рабочие дни, выходные),
- праздники,
- аperiodические события.

## Авторегрессионная матрица, пять выходных



## Авторегрессионная матрица и линейная модель

$$X^*_{(m+1) \times (n+1)} = \left( \begin{array}{c|ccc} S_T & S_{T-1} & \dots & S_{T-\kappa+1} \\ \hline S_{(m-1)\kappa} & S_{(m-1)\kappa-1} & \dots & S_{(m-2)\kappa+1} \\ \dots & \dots & \dots & \dots \\ S_{n\kappa} & S_{n\kappa-1} & \dots & S_{n(\kappa-1)+1} \\ \dots & \dots & \dots & \dots \\ S_\kappa & S_{\kappa-1} & \dots & S_1 \end{array} \right) .$$

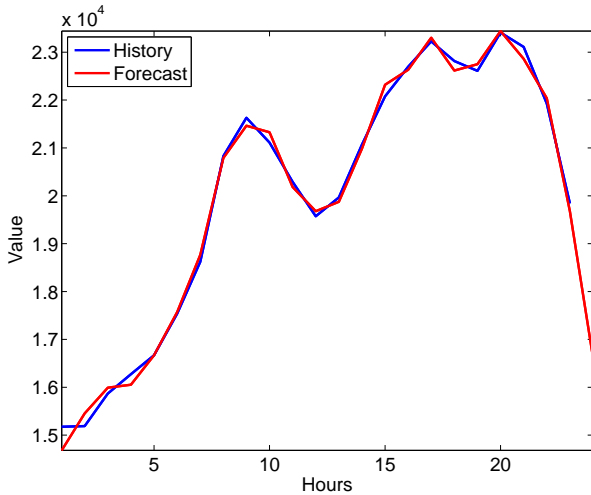
Кратко,

$$X^* = \left[ \begin{array}{c|c} S_T & \mathbf{x}_{m+1} \\ \hline \mathbf{y} & X \\ \hline 1 \times 1 & 1 \times n \\ m \times 1 & m \times n \end{array} \right] .$$

Решение задачи прогнозирования:

$$\hat{\mathbf{y}} = X\mathbf{w}, \quad \text{прогноз} \quad \hat{y}_{m+1} = \hat{s}_T = \mathbf{w}^T \mathbf{x}_{m+1}^T .$$

## Прогнозирование на один день, пример



## Композиции моделей прогнозирования: Примеры приложений

- **Прогнозирование объёмов продаж в торговой сети**
  - **Задача:** прогноз для каждого товара в каждом магазине
  - **Цель:** автоматическое формирование заказов в магазины
  - **Результат:** сокращение издержек 0,6–3,8% от оборота
- **Прогнозирование оттока клиентов**
  - **Задача:** оценивание вероятности ухода абонента
  - **Цель:** удержание выгодных клиентов
  - **Результат:** среди выделенных 10% абонентов 40–60% уходящие
- **Прогнозирование спроса в производстве**
  - **Задача:** прогноз спроса на пиво
  - **Цель:** формирование плана продаж
  - **Результат:** увеличение точности прогнозов на 18,6%
- **Прогнозирование рейтингов рекламы**
  - **Задача:** прогноз спроса на эфир по группам населения
  - **Цель:** оптимизация размещения рекламных блоков
  - **Результат:** увеличение точности прогнозов на 4%

## Примеры прикладных задач

- Анализ данных жидкостной хроматографии

$$z(t, \lambda) = \sum_i X_i(t) Y_i(\lambda)$$

**дано:**  $z(t, \lambda)$  — выход сканирующего УФ-детектора;

**найти:**  $X_i(t)$  — хроматограмма  $i$ -го вещества,

**найти:**  $Y_i(\lambda)$  — спектр  $i$ -го вещества.

- Анализ данных ДНК-микрочипов

$$I(p, k) = \sum_g a_{pg} C_{gk}$$

**дано:**  $I(p, k)$  — интенсивность свечения  $p$ -й пробы на  $k$ -м чипе;

**найти:**  $a_{pg}$  — коэффициент сродства  $p$ -й пробы  $g$ -му гену,

**найти:**  $C_{gk}$  — концентрация  $g$ -го гена на  $k$ -м чипе.

- Тематические модели коллекций текстовых документов

$$p(w|d) = \sum_t p(w|t)p(t|d)$$

**дано:**  $p(w|d)$  — частоты слов  $w$  в документах  $d$ ;

**найти:**  $p(w|t)$  — распределения слов  $w$  в темах  $t$ ,

**найти:**  $p(t|d)$  — распределения тем  $t$  в документах  $d$ .

контакты:

Воронцов Константин Вячеславович

voron@forecsys.ru

[www.MachineLearning.ru/wiki](http://www.MachineLearning.ru/wiki), «Участник:Vokov»

Стрижов Вадим Викторович

strijov@forecsys.ru

<http://www.strijov.com>

[www.MachineLearning.ru/wiki](http://www.MachineLearning.ru/wiki), «Участник:Strijov»